

نمذجة الجريان الواطئ لنهرى الزاب الأعلى والزاب الأسفل في شمال العراق

إحسان فصيح حسن

مدرس مساعد

مركز بحوث السدود والموارد المائية
جامعة الموصل

د. تيمور عبد المجيد آوجي

أستاذ مساعد

قسم هندسة السدود الموارد المائية
كلية الهندسة - جامعة الموصل

الخلاصة

تم في هذا البحث دراسة وتحليل التصارييف اليومية الواطئة (Low flows) لكل شهر لفترة 52 سنة لمحيطى قياس اسكي كلك ودوكان الواقع على نهرى الزاب الأعلى والزاب الأسفل على التوالى للتتبؤ بتتصارييفها الواطئة باستخدام نموذجين من النماذج التصادفية (Stochastic Models) مما نموذج (ARIMA) نموذج الانحدار الذاتي والمتوسطات المتحركة ونموذج (Thomas-Fiering) ومن ثم مقارنة النتائج المحسوبة بالطريقتين واختبارها عن طريق ايجاد معدل الخطأ المطلق (MAE) والجدر التربيعي لمعدل مربع الخطأ Root Mean Absolute Error (RMSE) للبيانات المتباينا بها من كلا الطريقتين للتحقق من ادائها ثم الاعتماد عليها في التنبؤ. وفيما يتطرق بالتطبيق فقد تبين من نتائج البحث ان نموذج (ARIMA) أعطت تنبؤات أكثر ملاءمة وتناسقا مع مثيلاتها في السلسلة الاصيلية من تلك التي قدمها نموذج (Thomas-Fiering)، تم استخدام البرنامج Minitab version 14 في تقييم الجانب الإحصائي للبحث.

الكلمات الدالة: الجريان الواطئ، الزاب الأعلى، الزاب الأسفل، ARIMA، Thomas-Fiering.

Low flow modeling for Greater Zab and Lesser Zab rivers in Northern Iraq

Dr. Taymoor A. Awchi

Dept. of Dams and Water Resources Eng.
College of Engineering
University of Mosul

Mr. Ihsan F. Hasan

Dams and Water Resources
Research Center
University of Mosul

Abstract

This research analyzes the minimum daily flows of each month for 52 years from Eski kalak and Dokan gauge stations on Greater Zab river and Lesser Zab river respectively to predict their low flows using two Stochastic Models; (ARIMA) model (Autoregressive Integrated Moving Average) and (Thomas-Fiering) model. A comparison is conducted for the results of both methods utilizing the Mean Average Error (MAE) and Root Mean Square Error (RMSE) of predicted data from both models to verify their performance and reliability. The results showed that the ARIMA model has given more appropriate forecasts and harmonic direction comparing to the same historical time series than those given by (Thomas-Fiering) model. Minitab version 14 package is utilized to assess the statistical side of the research.

Key word: Low flow, Greater Zab, Lesser Zab, ARIMA, Thomas-Fiering.

قبل: 16 - 9 - 2013

استلم: 27 - 3 - 2013

المقدمة

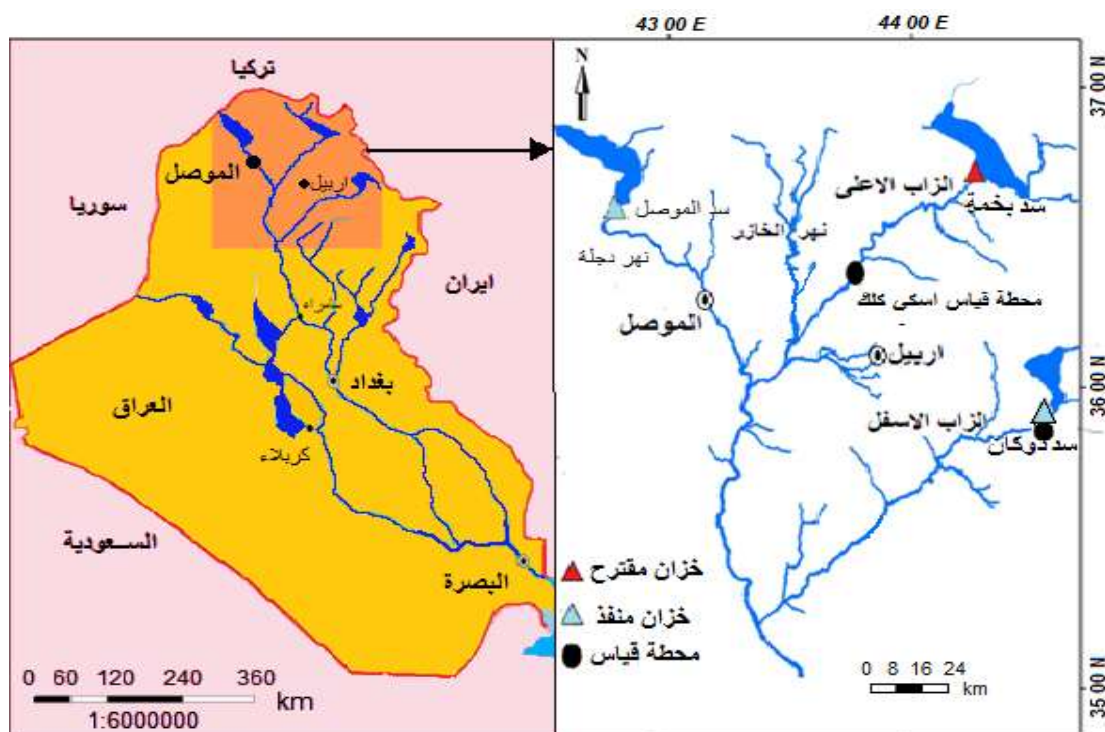
أن للتغيرات المناخية المتوقعة بسبب الاحتباس الحراري وما سببها من ارتفاع في درجات الحرارة وتنافص في معدلات المطولات المطرية [1] سيكون له تأثير مباشر على الموارد المائية السطحية ثم الجوفية من الخزانات ومناسب البحيرات وبخاصة انخفاض الجريانات السطحية التي تؤثر بدورها على اداء المحطات الكهرومائية والملاحة وتجهيز متطلبات الارواء فضلاً عن حدوث اضرار اقتصادية واجتماعية كبيرة الامر الذي يستدعي التفكير في تطوير طرق البحث والتحليل عند تخطيط وتصميم وادارة الموارد المائية ودراسة مشكلاتها لمواجهة هذا التحدى الاستراتيجي في العالم ككل.

وتشير الدراسات إلى أن التغيرات المناخية المتوقعة حدوثها خلال القرن الحالي ستؤدي إلى تغيرات كبيرة في الدورة الهيدرولوجية مثل زيادة معدلات تبخّر مياه المحيطات وأزيد من سرعة تبخّر المياه من اليابسة وبالتالي وصول كمية أقل من مياه الأمطار إلى مصادر الانهار كما انه من المتوقع ان تأتي هذه التغيرات مصحوبة بانماط جديدة لسقوط الأمطار واحادات مناخ أكثر تطرفاً بما في ذلك حالات الجفاف والفيضانات [2]. كما إن ارتفاع درجات الحرارة سيؤدي إلى زيادة الاحتياجات المائية للنباتات مما سيزيد الطلب على الموارد المائية وانخفاض في انتاجية المحاصيل الأمر الذي يهدد الأمن الغذائي في البلدان المتأثرة مما حفز ذلك المهتمين بهذه المجالات إلى النظر بعناية تجاه هكذا مشاكل خطيرة تظهر أثارها وتتأثيراتها السيئة في المديين القريب والبعيد. لقد أخذ الباحثون على عاتقهم الاهتمام الكبير بهذا الموضوع عن طريق دراسة مفاهيم الموارنة المائية المناخية والتصرّح والجفاف والقيمة الفعلية للأمطار، وتحديد كميات الفائض والعجز المائي وتاثيراتها على البيئة، ومن ثم وضع الحلول الملائمة لتقليل تلك التأثيرات والسبل الكفيلة في الاستفادة العظمى من الفائض المائي إن وجد. فقد استخدم [3] نموذج (Thomas-Fiering) المعدل لتوليد نموذج تبين أن هناك تقارب كبير بين القيم الشهرية واقعة في أحواض تتميز بوجود مدة جفاف لبعض الأشهر. بعد تطبيق النموذج تبين أن هناك تقارب كبير بين النماذج الشهرية للمعدل والانحراف المعياري للسلسلتين المرصودة والمولدة. كما قام الباحثان [4] ببناء نموذج تصادي Autoregressive Integrated Moving Average(ARIMA) لدراسة ووصف المركبات العشوائية للسلسل الرزمية للجريان في نهر (Delaware)، في حين اجرى الباحثون [5] تقييمًا لأداء نموذجين من النماذج التصاديفية- (ARIMA and Thomas-Fiering) لتخيّم نوعية المياه وبيانات الجريان في نهر (Yeşilirmak) في تركيا، وقد [6] نموذج هجين من الشبكات العصبية الاصطناعية ANN والنماذج التصاديفية لاستكشاف إمكانية استخدامه في توليد التصارييف الشهرية الدالة لمشروع ري Mula في الهند، وتم تقييم أداء النموذج الهجين بمقارنته مع نتائج نموذج Thomas Fiering. كما تم تطبيق نموذج (ARIMA) مطور من قبل الباحثين [7] للتحويل اللوغاريتمي للتصارييف الشهرية لنهر (Benue) وتم تقييم أدائه بمقارنته مع نموذج (Thomas-Fiering).

نظراً لأهمية دراسة تصارييف الأنهر بنواحيها المتعددة فإن الهدف الرئيس للبحث الحالي هو دراسة السلسلة الرزمية للتصارييف الدنيا اليومية لكل شهر، وتحليل التغيرات، والاسترشاد بها في دراسة ظاهرة الموسمية، وأيضاً التنبؤ بتتصارييف الأنهر وتحليل ومناقشة النماذج التصاديفية للسلسلة الرزمية لنهر الراي الاعلى والراي الأسفل باستخدام نماذج (ARIMA) ونموذج (Thomas-Fiering) لفترات لاحقة، مما يفيد في رسم وتخطيط وتنفيذ السياسات المستقبلية التي يعتمد عليها في اتخاذ القرار السليم على المستويين التنفيذي والإداري لأي منظومة إدارية تختص بإدارة شؤون المياه، وهو أساس التنمية وإدارة مصادر المياه.

1. منطقة الدراسة:

في هذا البحث استخدمت بيانات السلسلة الرزمية لقيم أوطا تصريف يومي خلال كل شهر ولمدة (52) سنة للفترة من 1959 ولغاية 2011 لمحطة القياس (اسكي كلك) على نهر الراي الاعلى و للفترة من 1960 ولغاية 2012 لمحطة القياس في مقدم (سد دوكان) على نهر الراي الأسفل. والنهران هما رافدان من روافد نهر دجلة يقعان ضمن منطقة الدراسة في الجزء الشمالي من العراق بين دائري عرض ($11^{\circ} - 35^{\circ}$ شمالي) وخطي طول ($10^{\circ} - 45^{\circ}$ شرقاً) والمبين موقعهما في الشكل (1).



شكل (1) موقع محطات قياس التصارييف للأنهار المدروسة في شمال العراق

2. تحليل السلسلة الزمنية للجريان الواطئ باستخدام النماذج التصادفية:

إن الهدف الرئيسي لبناء وتحليل نماذج السلسلات الزمنية هو الوصول إلى النموذج الرياضي الذي يمثل البيانات من ثم القرة على التنبؤ بها في المستقبل. ولعرض تحليل السلسلة الزمنية للجريان الشهري الواطئ تم اعتماد أوطا تصريف يومي لكل شهر لمحطيقي القياس المعتمدة في البحث باستخدام النماذج التصادفية الخطية (Linear Stochastic Models) المتمثلة بنماذج (ARIMA) نموذج الانحدار الذاتي والمتوسطات المتحركة باستخدام برنامج Minitab-14، ونموذج Matlab-7.8 (Thomas-Fiering) باستخدام برنامج Thomas-Fiering

1.3. نموذج (ARIMA :Autoregressive Integrated Moving Average)

إن نماذج ARIMA قد استخدمت من قبل الباحثان بوكس وجنكز [8] في التوقع للمستقبل في مجال الاقتصاد أو لا في السنتينيات من القرن الماضي. والكلمة الإنجليزية ARIMA، تعبر عن المكونات الثلاث للنموذج: تكامل الانحدار الذاتي مع المتوسط المتحرك Autoregressive Integrated Moving Average Model (ARIMA(p,d,q))، ويكتب النموذج اللاموسيي المتكامل غالباً بالصيغة ARIMA(p,d,q)، لأنه يحدد بثلاث قيم: رتبة الانحدار الذاتي (p)، رتبة المتوسط المتحرك (q) ورتبة التكامل (d). والنموذج الموسيي المتكامل بالصيغة ARIMA(p,d,q)(P,D,Q)، إذ تمثل (P) رتبة الانحدار الذاتي الموسيي و(Q) رتبة المتوسط المتحرك الموسيي و(D) رتبة التكامل الموسيي. وعبر [9] عن نموذج ARIMA الموسيي المتكامل باستخدام عامل الارتداد الخلفي (B) بالمعادلة الآتية:

$$\Phi(B)\Phi(B^s)(w_i - \mu) = \theta(B)\Theta(B^s)a_i \quad \dots \dots \dots \quad (1)$$

$$w_i = (1-B)^d (1-B^s)^D x_i \quad \dots \dots \dots \quad (2)$$

حيث أن

$\Phi(B)$: عامل الانحدار الذاتي اللاموسي.

$\Theta(B)$: عامل الانحدار الذاتي الموسيي.

$\theta(B)$: معامل المتوسط المتحرك اللاموسمي.
 $\Theta(B^s)$: معامل المتوسط المتحرك الموسمي.
 a_i^d : الخطأ العشوائي.
 $(1-B)^d$: معامل التكامل اللاموسمي.
 $(1-B^s)^D$: معامل التكامل الموسمي.
 x_i : قيمة مشاهدات السلسلة الزمنية.
 μ : معدل سلسلة البوافي

ان بناء نموذج مناسب لتمثيل سلسلة زمنية مرصودة يعتبر من المهام الصعبة والتي تحتاج الى الكثير من البحث والخبرة. وسيتم هنا استعراض الخطوات الاساسية لبناء نموذج (ARIMA) للتتبؤ عن سلسلة زمنية ما:

تشخيص النموذج: تهدف هذه المرحلة الى تحديد استقرارية البيانات (وكون السلسلة مستقرة يعني أن متوسطها الحسابي Mean وتباينها Variance ثابتان مع استقرار معامل الانتواء طوال زمن السلسلة)، وتحديد فيما اذا كانت السلسلة تحتوي على المركبة الموسمية ام لا (وكون السلسلة تحتوي على الموسمية يعني انها تعيد نفسها بشكل متكرر من سنة الى أخرى وعند فترة زمنية ثابتة كأن تكون كل 12 شهر او كل شهر او أسبوع)، كما يتم تشخيص النموذج وتحديد رتبته من خلال دالتي الارتباط الذاتي (ACF) والارتباط الذاتي الجزئي Partial Autocorrelation Function (PACF) باعتماد عدد من المقاييس الاحصائية التي تميز نموذج عن آخر وعلى الخبرة المستمدة من الدراسات والابحاث للنماذج غير الموسمية والموسمية الساكنة المختلفة.

تقدير معلم النموذج: بعد ترشيح نموذج او اكثر كنموذج مناسب وتحديد درجهه لوصف المتسلسلة المرصودة يتم تقدير معلم هذا النموذج من البيانات المرصودة باستخدام طرق التقدير الاحصائي الخاصة بالمتسلسلات الزمنية وهذا النموذج المرشح يؤخذ كنموذج اولي قابل للتعديل لاحقاً.

اختبار النموذج : يتم ترشيح عدد من النماذج الملائمة لكل سلسلة باستخدام دالتي معامل الارتباط الذاتي والذاتي الجزئي بعد اجراء اختبارات معينة لمعرفة مدى تطابق المشاهدات مع القيم المحسوبة من النماذج المرشحة. ومن ثم اختيار النموذج الافضل نسبياً من بين النماذج الملائمة باعتماد معايير خاصة منها معيار Akaike Information Criteria (AIC) و معيار Schwarz Bayesian criterion (SBC) والنماذج الافضل نسبياً هو الذي تكون قيمة المعايير (AIC) و (SBC) له اقل ما يمكن. وفي حالة احتياز النموذج المرشح لهذه الاختبارات نقوم باعتماده على انه النموذج النهائي ويستخدم لحساب تنبؤات لقيم المستقبلية [10]. ويمكن تمثيل الاختبارات السابقة بالعلاقات الآتية:

$$AIC = n \ln(\sigma_a^2) + 2*m \quad \dots\dots\dots (3)$$

$$SBC = n \ln(\sigma_a^2) + n + m * \ln n \quad \dots\dots\dots (4)$$

حيث:

m : عدد المعالم المقدرة في النموذج
 n : تمثل عدد المشاهدات للسلسلة الزمنية.
 σ_a^2 : تباين البوافي
 ويتم اختيار النموذج الامثل الذي ينتج عنه اقل قيمة لهذين المعيارين.

استخدام النموذج لحساب التنبؤات: يستخدم النموذج النهائي للتتبؤ بالقيم المستقبلية للسلسلة الزمنية المرصودة.

2.3. نموذج (Thomas-Fiering)

ان نموذج Thomas-Fiering هو أحد صور نماذج ماركوف من الدرجة الاولى وهو ذو إمكانية عالية في نمذجة السلسلات الزمنية للجريان في الأنهر وقد أوصى [11] باستخدامه لنمذجة السلسلات الزمنية للجريان في الأنهر على

الأساس الشهري بشكل خاص. ويمكن استخدامه للجريان الموسمى والاسبوعى فضلاً عن اليومى، ولا يتطلب بالضرورة ان تكون البيانات المرصودة تتبع التوزيع الطبيعي وعليه في هذا البحث سوف يتم استخدام كلاً من البيانات الاصلية والمحولة الى التوزيع الطبيعي في حالة كون البيانات غير مستقرة، ويمكن كتابة علاقة الانحدار الخطى لنموذج [12] بالمعادلة الآتية (Thomas-Fiering) :

$$q_{i+1} = \bar{q}_{j+1} + b_j(q_i - \bar{q}_j) + Z_i \sigma_{j+1} (1 - r_j^2)^{1/2} \quad (5)$$

حيث:

q_{i+1} و q_i : قيم التصرف المولدة للشهر $(i+1)$ من التصرف للشهر (i) .

\bar{q}_{j+1} : المعدل الشهري للتصرف خلال الشهرين (j) و $(j+1)$ على التوالي.

b_j : معامل الانحدار بين التصرفات في الشهرين (j) و $(j+1)$.

Z_i : عدد عشوائى.

σ_{j+1} : الانحراف المعياري للتصرفات في الشهر $(j+1)$.

r_j : معامل الارتباط بين التصرفات في الشهرين (j) و $(j+1)$.

z : رمز الشهر لسلسلة الجريان المرصودة وتأخذ القيم من 1 إلى 12.

i : رمز الشهر لسلسلة الجريان المولدة وتأخذ القيم من 1 إلى طول السلسلة المطلوب توليدها.

في حالة استخدام التوزيع الطبيعي وقبل البدء بخطوات بناء نموذج التوليد يجب التحقق من أن سلسلة الجريان المرصودة المستخدمة في النموذج تخضع للتوزيع الطبيعي وإذا لم يتحقق ذلك فيتم اللجوء إلى طريقة التحويل (Transformation)، إذ تُعد طريقة (Box-Cox) المبينة في المعادلة (6) والتي اعتمدت في الدراسة الحالية، إحدى الطرائق المعتمدة لتحويل سلسلة الجريان المرصودة إلى التوزيع الطبيعي وذلك عن طريق فرض عدة قيم $-\lambda$ (أ) تقع بين $+1$ و -1 وكل شهر على حدة، للحصول على قيم جديدة يكون معامل الالتواء (Skewness) لها قيمة من الصفر والتي يمكن أن تستخدم لاحقاً في نموذج التوليد [13]. كما تم استخدام التحويل اللوغاربتي Log-transformed المبين في المعادلة (7) والذي يتميز بالقدرة على إزالة القيم السالبة التي تحدث أحياناً للتصرفات المولدة من نموذج Thomas-Fiering في حالة استخدام بيانات غير محولة [14].

$$q_i = (X_i^\lambda - 1) / \lambda \quad (6)$$

$$q_i = \ln(X_i) \quad (7)$$

حيث:

q_i : التصرف الشهري بعد تحويله إلى حالة التوزيع الطبيعي.

X_i : التصرف الشهري المرصود.

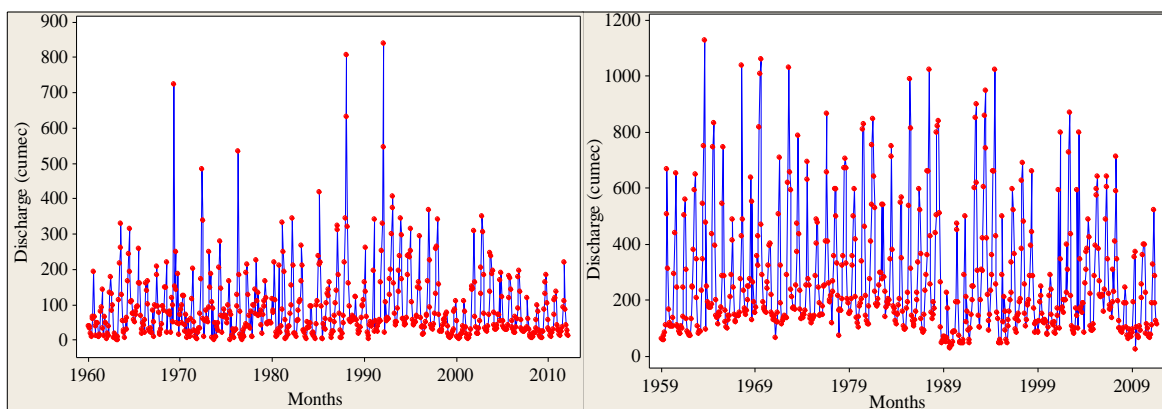
بعد استخدام النموذج وتوليد البيانات المستقبلية يتم إرجاع البيانات المولدة إلى الحالة الأصلية لها وذلك عن طريق عكس معادلة (Box-Cox) بنفس قيم (λ) المستخدمة سابقاً، وبالنسبة للبيانات المحولة بواسطة المعادلة (8) يتم إرجاعها إلى الحالة الأصلية باستخدام العلاقة الآتية:

$$X_i = \exp(q_i) \quad (8)$$

3. النتائج والمناقشة

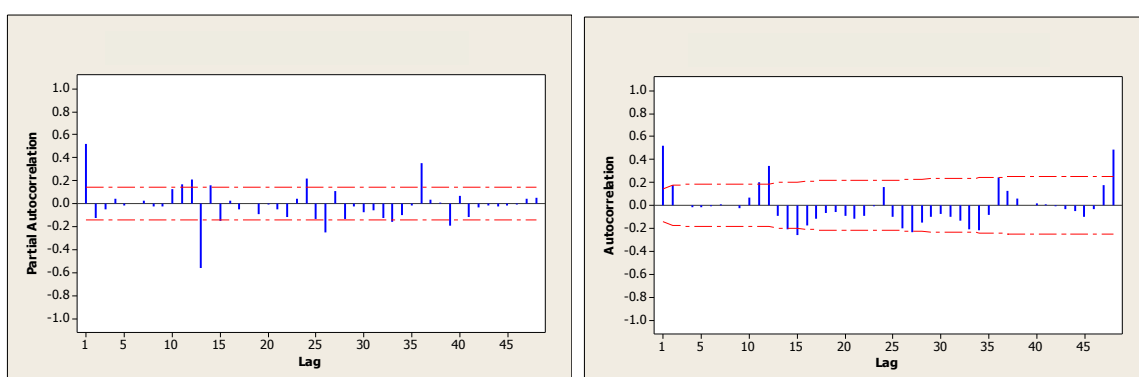
تعد عملية التنبؤ من المسائل الشائعة في العديد من مجالات العلوم كالأنواء الجوية والهيدرولوجيا والكهرباء والاقتصاد... الخ، لذا كانت هذه العملية محط اهتمام المعنيين لفترة طويلة من الزمن [15]. أن عمليات التنبؤ المتعلقة بتصرفات الانهار مهمة وضرورية في تحضير وتصميم مشاريع الموارد المائية مثل إنشاء السدود والخزانات وتنشيفها والسيطرة على الفيضانات وتلبية الاحتياجات المائية في مواسم الجفاف وتنظيم تصريف المياه، من هنا فإن تطوير النماذج التصادافية واستخدامها الظواهر الهيدرولوجية ادت دوراً مهماً في هندسة الموارد المائية وبضمها استخدامها في التنبؤ بتصرفات الانهار، وأن اختيار النموذج المناسب للسلسلة الهيدرولوجية المعينة يعد مظهراً مهماً لعملية النمذجة [16].

الشكل (2) يمثل السلسلة الزمنية لأوًطا تصريف يومي من كل شهر المستخدمة في الدراسة ومن خلال الرسم تكون لدينا فكرة جيدة عن استقرارية السلسلة من عدمها، (اي احتواء السلسلة على موسمية او اتجاه عام او عدم الثبات في التباين) وفي هذه الحالة ينبغي معالجتها بواسطة الفروقات حسب درجة التكامل من أجل تحويلها إلى سلسلة مستقرة حيث يتم اخذ الفرق العادي لغرض تثبيت التباين وقد تستدعي الحالة اخذ الفرق الموسمي او كليهما لتحقيق الاستقرارية والنموذج العام في حالة اخذ الفرق العادي يشار اليه بنموذج الانحدار الذاتي والمتسطمات المتحركة التكاملية ويرمز له بـ ARIMA(p,d,q)(P,D,Q)، وفي حالة اخذ الفرق الموسمي يشار اليه بـ ARIMA(p,d,q).

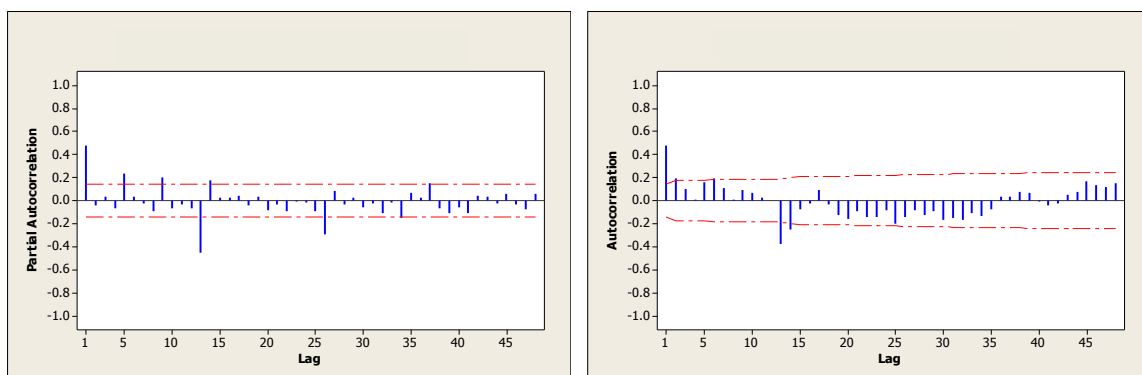


شكل (2) السلسلة الزمنية للتصارف اليومية الادنى لكل شهر لنهر الزاب الاعلى (أ) ونهر الزاب الاسفل (ب)

ومن خلال ملاحظة الشكل (2) يتبين وجود واضح لنمط التباينات في السلسلة وهذا يعني بأن السلسلة غير مستقرة في التباين لذلك يتم تحويل السلسلة إلى سلسلة مستقرة باخذ الفرق الاول للسلسلة لغرض تثبيت التباين وكما يتبين ان السلسلة الزمنية تتاثر بالتغييرات الموسمية، مما يدل ان السلسلة موسمية اي انها تعيد نفسها كل (12) شهرا وفي هذه الحالة تكون السلسلة الاصلية من النوع ARIMA(p,d,q)(P,D,Q). الشكلين (3) و (4) يمثلان دوال الارتباط الذاتي والذاتي الجزئي بعد اخذ الفروق العادية والموسمية عند (S=12).



شكل (3) معامل الارتباط الذاتي والذاتي الجزئي بعد اخذ الفروق للبيانات الشهرية لأوًطا تصريف يومي لنهر الزاب الاعلى.



الشكل (4) معامل الارتباط الذاتي والذاتي الجزئي بعد اخذ الفروق للبيانات الشهرية لأوطاً تصريف يومي لنهر الزاب الأسفل.

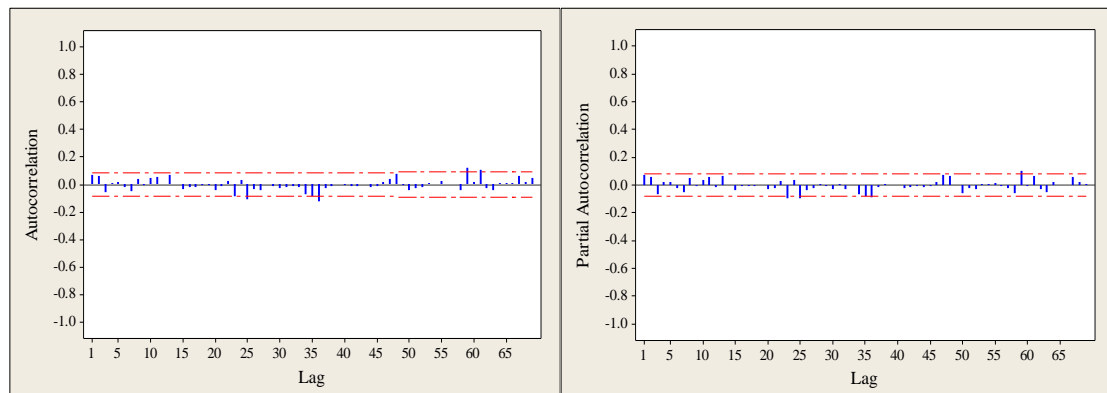
للتعرف على نوع ودرجة النموذج فإنه ومن خلال ملاحظة معاملات الارتباط الذاتي والذاتي الجزئي للفروق لسلسلة التصارييف في الشكلين (3) و (4) واستعمال معايير (AIC) و (SBC) الموضحة في الجدول (1) نستنتج ان النموذجان المقترنان المناسبان هما نموذج $(1,0,1)(1,1,1)_{12}$ للتنبؤ بتتصارييف نهر الزاب الاعلى و نموذج $(2,0,1)(2,1,2)_{12}$ للتنبؤ بتتصارييف نهر الزاب الاسفل.

جدول (1) نتائج معايير اختبار نماذج ARIMA المرشحة للتنبؤ

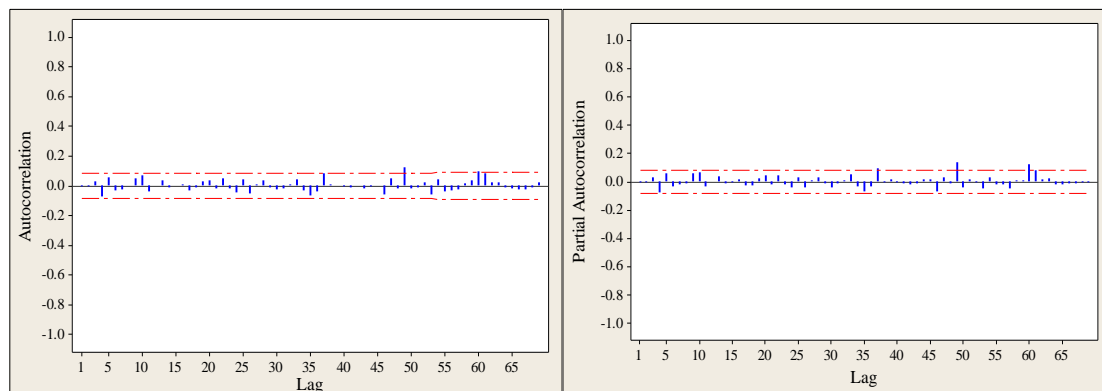
المعايير الاحصائية			نوع (ARIMA)	اسم النهر
R	SBC	AIC		
0.838	3102	2553	$(0,0,1)(1,1,0)_{12}$	الزاب الاعلى عند محطة (اسكي كاك)
0.841	3095	2542	$(1,0,1)(1,1,0)_{12}$	
0.825	3220	2672	$(1,0,1)(0,1,0)_{12}$	
0.914	3087	2525	$(1,0,1)(1,1,1)_{12}$	
0.823	3285	2741	$(1,0,0)(0,1,0)_{12}$	
0.831	3116	2559	$(1,0,1)(0,1,1)_{12}$	
0.830	3145	2571	$(2,0,2)(2,1,2)_{12}$	
0.829	3160	2590	$(1,0,2)(1,1,2)_{12}$	
0.861	3094	2533	$(1,0,1)(2,1,2)_{12}$	
0.894	2842	2284	$(1,0,1)(1,1,1)_{12}$	الزاب الأسفل عند محطة (دوكان)
0.896	2830	2271	$(0,0,1)(1,1,1)_{12}$	
0.905	2828	2266	$(0,0,1)(2,1,2)_{12}$	
0.895	2838	2273	$(1,0,1)(2,1,2)_{12}$	
0.950	2825	2259	$(2,0,1)(2,1,2)_{12}$	
0.916	2827	2266	$(2,0,1)(0,1,2)_{12}$	
0.895	2833	2272	$(0,0,1)(3,1,1)_{12}$	
0.892	2846	2285	$(1,0,0)(3,1,1)_{12}$	
0.888	2869	2294	$(1,0,1)(3,1,3)_{12}$	

1.4. اختبار طبيعة البوافي

يهدف هذا الاختبار الى معرفة ما اذا كانت بوافي النموذج تتبع قانون التوزيع الطبيعي ام لا ومعرفة هل ان سلسلة البوافي عبارة عن ضجة بيضاء ام لا (white noise)، وهذا اختبار مهم لانه الاختبار الحاسم لصلاحية طريقة بوكس وجنكز وبعكسه يتم اللجوء الى استخدام طرق أخرى، فإذا كانت البوافي موزعة طبيعيا (الارتباطات الذاتية للبوافي تقع بين حدود الثقة) امكننا ذلك من حساب التوقعات بواسطه طريقة بوكس وجنكز اما في حالة البديلة (البوافي غير طبيعية ووجود ارتباط ذاتي بين الاحطاء) فهذا يعني أننا سنعيد تشخيص النموذج من جديد [4]. الاشكال (5) و (6) توضح سلسلة البوافي للنموذج المستخدمان في التنبؤ.



الشكل (5) معامل الارتباط الذاتي والذاتي الجزئي لبوافي النموذج ARIMA(1,0,1)(1,1,1)12 المستخدم في التنبؤ بتصاريف نهر الزاب الاعلى بعد اخذ الفروق



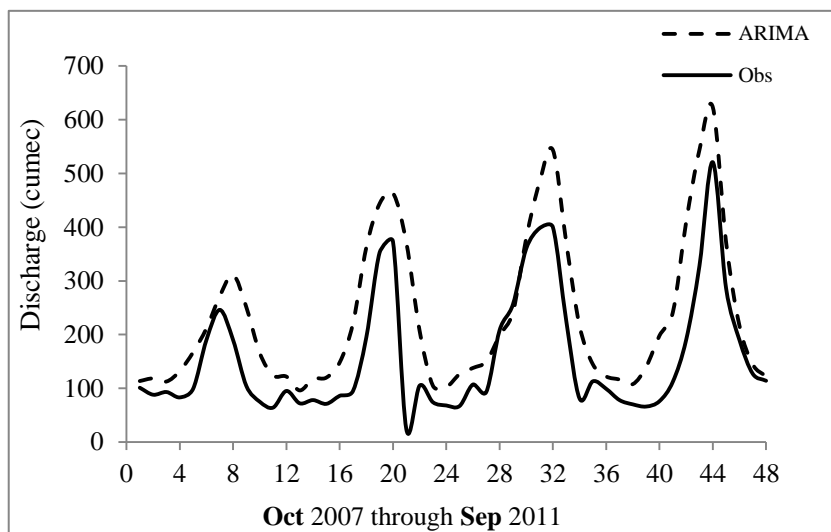
الشكل (6) معامل الارتباط الذاتي والذاتي الجزئي لبوافي النموذج ARIMA(2,0,1)(2,1,2)12 المستخدم في التنبؤ بتصاريف نهر الزاب الاسفل بعد اخذ الفروق

نلاحظ من الاشكال اعلاه ان البوافي (الاحطاء) تقع ضمن حدود الثقة وهذا مؤشر على غياب الارتباطات الذاتية للبوافي، اي ان النماذج جيدة وملائمة ويمكن استخدامها في حساب التنبؤات.
للغرض المقارنة بين الاسلوبين المستخدمين، وهما الأسلوب الكلاسيكي المتمثل بنماذج ARIMA لبوكس-جنكز ونموذج Thomas-Fiering في حالة استخدام البيانات الحقيقية والذي رمز له بـ T-F والبيانات الموزعة طبيعيا باستخدام تحويل (Box-Cox) والذي رمز له بـ T-F(box) والتحويل اللوغاريتمي والذي رمز له بـ T-F(log) في هذه الدراسة، اعتمد على المعايير الإحصائية المتمثلة بـ(الجذر التربيعي لمتوسط مربع الخطأ RMSE والقيمة المطلقة لمتوسط الخطأ MAE ومعامل الارتباط R والمبنية في الجدول (2) حيث نجد ان نموذج بوكس- جنكز افضل من نماذج Thomas-Fiering .

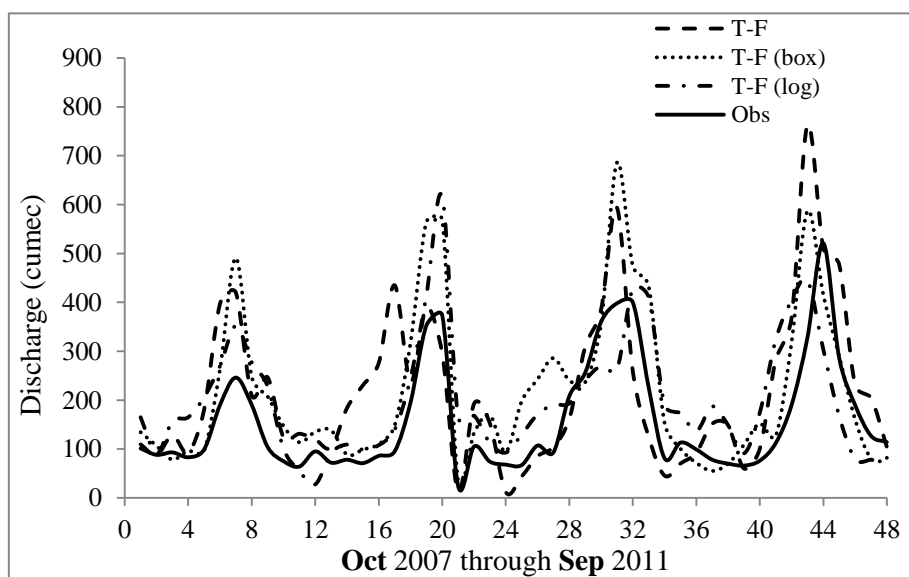
جدول (2) يمثل مقارنة بين قيم التصارييف الحقيقة والمتنبأ بها بطريقتي ARIMA و Thomas-Fiering

الزاب الأسفل	الزاب الأعلى	النماذج
36	89.7	RMSE MAE R%
29	64	
95	91	
54	121.6	RMSE MAE R%
40	84	
69	74	
37	104	RMSE MAE R%
30	74	
79	86	
69	99	RMSE MAE R%
45.6	80	
67	72	

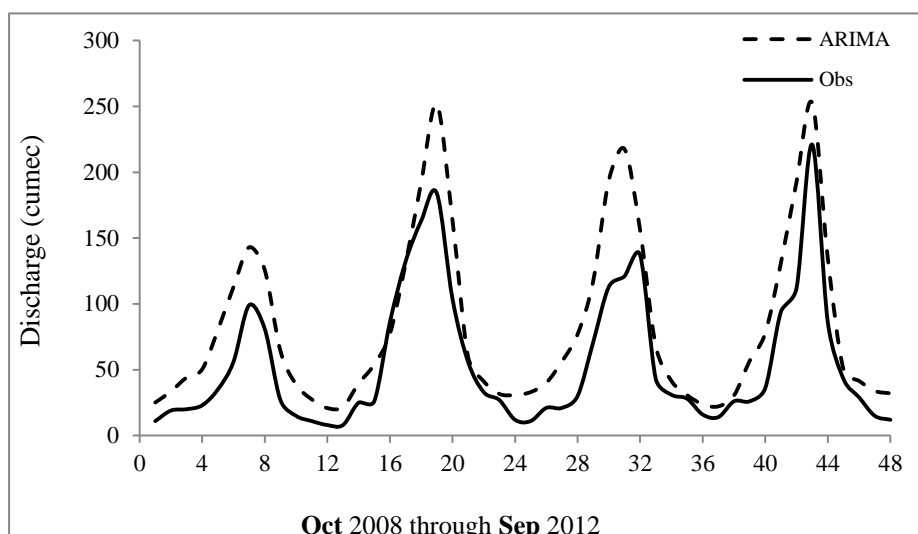
في الاشكال من (7) الى (10) تم استخدام التصارييف اليومية الواطئة لكل شهر ولاول 48 سنة من اصل 52 سنة من البيانات المتوفرة لغرض التنبأ بالتصارييف الواطئة للسنوات الاربعية المتبقية بطريقتي Thomas-ARIMA لكي يتم مقارنتها مع قيم التصارييف الحقيقة الموجودة للسنوات الاربعية نفسها، ويتبين من الاشكال أن نموذج بوكس- جنكنز هو الافضل أداءً في التنبؤ.



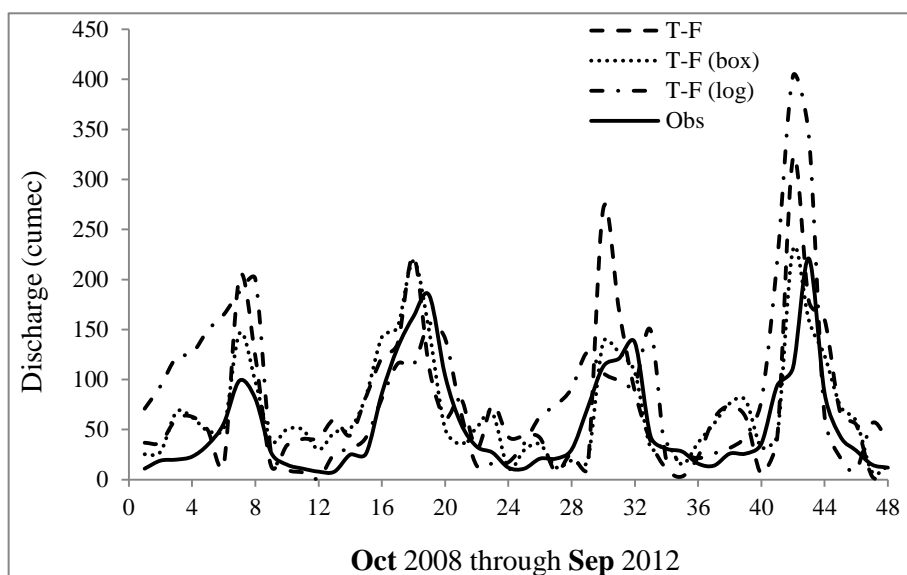
شكل (7) التصارييف الحقيقة والمتنبأ بها لنهر الزاب الأعلى باستخدام نموذج ARIMA



شكل (8) التصارييف الحقيقة والمتتبأ بها لنهر الزاب الأعلى باستخدام نماذج Thomas-Fiering للبيانات الحقيقة وللبيانات الموزعة طبيعيا باستخدام معادلتي (6) و (7)



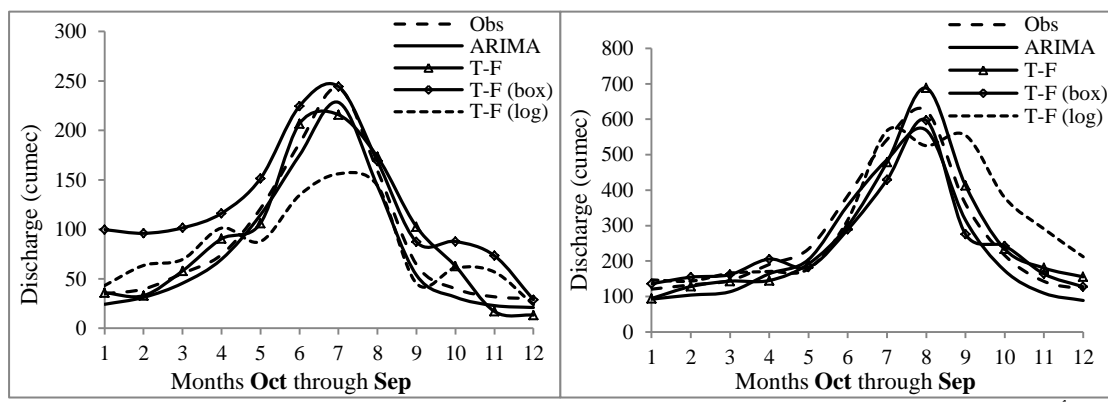
شكل (9) التصارييف الحقيقة والمتتبأ بها لنهر الزاب الأسفل باستخدام نموذج ARIMA



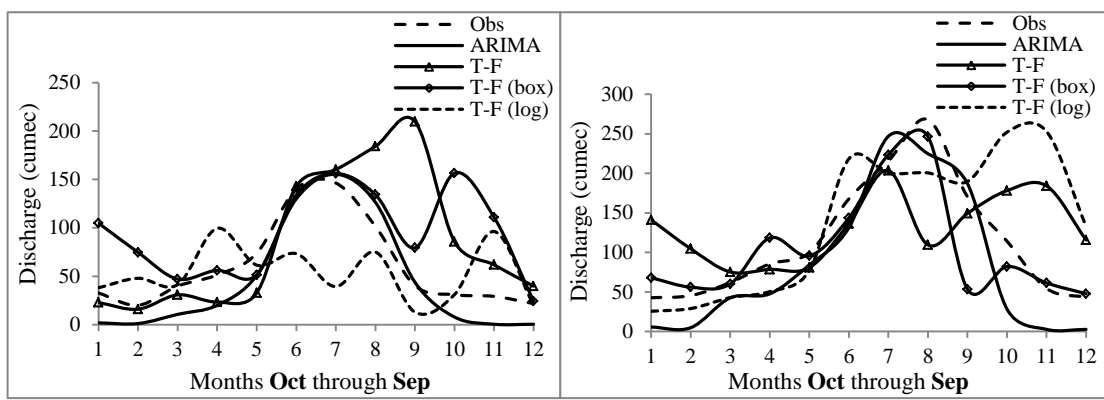
شكل (10) التصارييف الحقيقة والمتنبأ بها لنهر الزاب الأسفل باستخدام نماذج Thomas-Fiering للبيانات الحقيقة ولبيانات الموزعة طبيعياً باستخدام معادلتي (6) و (7)

أن الأشكال أعلاه تمثل التنبؤ لـ(أربع سنوات) ، ونلاحظ بأن قيم التنبؤات تقارب قيم السلسلة الأصلية في حالة استخدام نماذج ARIMA (أكثر من نماذج Thomas-Fiering) وفي كلتا الحالتين(في حالة البيانات الحقيقة أو في حالة تحويلها إلى التوزيع الطبيعي).

تبين الأشكال (11) و (12) مخططات المقارنة لقيمة المعدل والانحراف المعياري للتصارييف الواطئة المرصودة لكل شهر لمدة 52 سنة مع المتنبأ بها لـ(عشر سنوات) زمنية مستقبلية من بين جميع السلاسل المولدة، لوحظ ان السلاسل المولدة بواسطة نموذج ARIMA أقرب إلى السلسلة المرصودة فيما يتعلق بقيمة المعدل والانحراف المعياري للتصارييف الواطئة لكل شهر.



شكل (11) المعدل الشهري للتصارييف الواطئة الحقيقة والمتنبأ بها لنهرى الزاب الأعلى (أ) والزاب الأسفل (ب)



شكل (12) الانحراف المعياري للتصریف الشهري الواطئه الحقيقیة والمتبأ بها لنهری الزاب الأعلی (أ) والزاب الاسفل (ب)

نستنتج مما تقدم بأن نموذج (ARIMA) هو النموذج الملائم للبيانات المتاحة مقارنة مع نماذج- Thomas Fiering في حالة استخدام البيانات الحقيقة (T-F) والبيانات الموزعة طبيعيا باستخدام تحويل (T- (Box-Cox) F(box)) والبيانات الموزعة طبيعيا باستخدام التحويل اللوغارتمي (T-F(log)). لأنه نجح في اختبار معنوية المعلمات المقدرة للنموذج فضلا عن نجاحه في اختبار تحليل الياوaci (بمعنى آخر نجح في اختبار الفحوص التشخيصية لهذا النموذج)، وقد بلغت قيم الجذر التربيعي لمتوسط مربع الخطأ RMSE والقيمة المطلقة لمتوسط الخطأ MAE ومعامل الارتباط R لنموذج ARIMA بالنسبة لنهر الزاب الأعلی 89.7 و 64 و 91 % على التوالي، و 36 و 29 و 95 % بالنسبة لنهر الزاب الاسفل على التوالي. يليه نموذج T-F(box) من بين نماذج Thomas-Fiering حيث كانت قيم RMSE و MAE تساوي 104 و 74 و 86 % على التوالي بالنسبة لنهر الزاب الأعلی و 37 و 30 و 79 % بالنسبة لنهر الزاب الاسفل على التوالي.

تستخدم النماذج التصاديفية كاداة تسمح برؤیة المستقبل من خلال دراسة الماضي من وجهة نظر الحاضر ولعل من اهم النماذج التصاديفية في حساب التنبؤات هي تقنيات ونماذج السلسل الزمنية حيث تميز التنبؤات التي تولد لها طريقة (ARIMA) بالدقة العالية في تشخيصها ووصفها لمستقبل الطواهر والمتغيرات الهيدرولوجية والاقتصادية وذلك لصغر تباين أخطاء تنبؤاتها مما يعزز مكانتها واهميتها في عملية اتخاذ القرار، الا ان دقة وفعالية التنبؤات تبقى مرهونة بدقة وصحة المعلومات الاحصائية التي تبني على اساسها الدراسات التنبؤية .

تعتبر هذه التنبؤات كمعلومات مهمة في توجيه مسؤولي إدارة الموارد المائية لصنع القرار المناسب أثناء عملية التخطيط المستقبلي لإدارة الموارد المائية وباستخدام الطرق العلمية الحديثة المساعدة على اتخاذ القرار. ومن هنا يتبيّن أن للتنبؤ بالتصریف المستقبلية أهمیة كبيرة جدا في التسیر الأمثل لتلبیة المتطلبات المائية للري والصناعة والبلدية والاحتیاجات المستقبلية الأخرى ، إلا أن هذه الطرق والتقنيات تبقى مساعدة في عملية اتخاذ القرارات، ويجب على القائمين على إدارة الموارد المائية استعمال خبرتهم وتجربتهم في توجیه الحلول المقترنة باستعمال هذه الطرق في الإداره الإستراتيجية للموارد المائية.

4. المصادر:

1. Arora, V.K. and Boer, G.J. "Effects of Climate Change on the Hydrology of Major River Basins" J. of Geophysical Research, American Geophysical Union, Vol. 106. No. D4, 3335-3348, (2001).
2. Heglund, J. and Barkdoll, B. D. "Current State of Knowledge in Effects of Climate Change on Watershed Behavior" World Environmental and Water Resources Congress: Restoring Our Natural Habitat, (2007), ASCE.

3. خدر، خالد محمود، "توليد السلسل الهيدرولوجية الشهرية (الأمطار والتصارييف) لمحطات القياس الواقعة في أحواض تتميز بوجود فترة جفاف لبعض الأشهر"، وقائع المؤتمر العلمي الثاني لمركز بحوث سد الموصل، جامعة الموصل (1990).
4. Ahlert, R.C., and Mehta, B.M. "Stochastic Analysis and Transfer Functions for Flows of the Upper Delaware River" Ecological Modeling, 14, 59-78. (1981).
 5. Yurekli, K., Kurunc, A., and Ozturk, F. "Testing the Residuals of an ARIMA Model on the Cekerek Stream Watershed in Turkey" Turkish Jour. Eng. Envi. Sci. No. 29, p 61-74. (2005)
 6. Awchi, T. A., and Srivastava, D. K. "Analysis of drought and storage for Mula project using ANN and stochastic generation models" Hydrologic Research, IWA, Vol. 4, No. 1. p 79-91. (2009).
 7. Martins, O.Y., Ahaneku, I.E. Mohanned, S.A. "Parametric Linear Stochastic Modeling of Benue River Flow Process" Open Journal of Marine Science, No. 3, p 73-81. (2011).
 8. Box, G.E.P., Jenkins, G.M. "Time Series Analysis: Forecasting and Control" San Francisco: Holden-Day, (1987).
 9. Yurekli, K., Kurunc, A., and Simsek, H. "Prediction of Daily Maximum Streamflow Based on Stochastic Approaches" Journal of Spatial Hydrology Vol. 4 No. 2 p: 1-12, (2004). IVSL. Org.
 10. Subagadis, Y.H., "Stochastic Simulation of Streamflow and Hydrologic Drought Analysis (Case Study: Upper Blue Nile Basin" M.Sc. Thesis in Civil Engineering, Addis Ababa University. (2009)
 11. Clarke, R.T. "Mathematical Models in Hydrology". FAO Irrigation and Drainage Paper, No. 19. Second edition. (1984).
 12. Sargent, D. M. "A Simplified Model for the generation of daily stream flows" Hydrological Sciences Journal, Vol. 24 No.4, p:509-527, (2012) IVSL. Org.
 13. Kottagoda, N.T., "Stochastic water resources technology", John Wiley and sons, New York. (1980).
 14. Ahmed, J.A., and Sarma, A.K. "Artificial neural network model for synthetic Streamflow generation" Springer Science, Water Resources Manage. Vol. 21, p 1015–1029. IVSL. Org. (2007).
 15. Lendasse, A., Bodt, E.D., Wertz, V., and Vwrleysen, M. "Non-Linear Financial Time Series Forecasting-Application to the Bel 20 Stock Market Index", European Journal of Economic and Social System, Vol. 14 No. 1, p: 81-91 (2000).
 16. Kumar, D., Raju, K., and Sathish, T. "River Flow Forecasting using Recurrent neural Networks", Water Resources Management, 18:1431-161(2004), Springer.

تم اجراء البحث في كلية الهندسة = جامعة الموصل